

武藏工業大学

正員 王 方一

要旨： (1)：異径、異露出比を有する球に関する離脱限界実験を行い、前に行った同径、異露出比の球に関する実験結果と比較する。 (2)：実際の砂れき層表面における離脱限界を検討し、前に提案した掃流砂量計算法による比較計算値と浅田・石川らの実験値とを比較する。

[1]. 異脱限界実験

前に、密に配置・固定された 6.6 mm 径のガラス球の中、数個を種々の高さに自由状態にして、離脱限界実験を行った。結果(数組の平均値)は図-1 に示す。式で表わすと $T_{xa} = T_{xai}/K_E = 0.0172 \times d^{0.2362}$ ……(1)

となる。(第19回および第20回水理講論文集)

今回は密に配置された直径 $d=25\text{ mm}$ のガラス球の上に、 $d=2.450, 1.745, 1.665, 1.501, 1.260$ および 1.184 cm 直径のガラス球を \rightarrow の状態にせし、流量を徐々に増加させて、離脱限界を定めた。結果は図-1 の△印で示す。マッハ係数 K_E が大きくなる(露出比 $\alpha = \text{露出高}/d$ が小)範囲で、同じ d に対して、 T_{xa}/K_E の値が同径($d/d=1$)の場合に比して小さくなっている。これは離脱粒子・水路床粒子間の空隙程度と水路床粒子上部の起伏程度に基づく流況の相違に起因すると考えられる。

[2]. 実際のれき層表面における露出粒子の離脱条件と掃流砂れき量の比較計算

実際のれき層表面における露出粒子の離脱条件には遼へい効果を考慮する必要がある。式で表わすと

$$Ma = K T_{xa}, \quad K = K_E / S_{ci} \quad \dots\dots(2)$$

のようになる。 K_E は遼へい係数。 β 従って μ の変化に伴う K_E の変化関係式は不明であるが、 $\beta \approx 1 - S_{ci}$ と同じ減少率をもつと假定すれば K は定数となる。 $K=40$ とすれば $K_E = 0.688 \times \mu^{-0.2362}$ ……(3)

となる。頂高最高の粒子(隣接三球上にのせた球)に対する T_{xa} を T_{xc} とすれば $T_{xc} = 0.816$, $\mu_c = 0.355$ 従って $K_E = 0.88$ となり、 β に逆の数値である。 $K=40$, $\mu_c = 0.355$ と(2)を入れば $T_{xc} = 0.0088$ を得る。また $K=30, 50$ とすれば、 T_{xc} はそれそれ $0.0112, 0.0071$ となる。他方 Painter の流砂量実験(Jour. Hyd. Research. Vol. 9, No. 1, 1971)では $\beta \approx 0.008$ も移動量があることを考慮して、実際のれき層表面における離脱限界は $T_{xc} \approx 0.01$ 程度と推測される。前に提案した掃流砂量式(第20回水理講論文集, 1976)

$$\dot{V} = \frac{\pi}{8} P_i' A' [(1-\gamma_i') \sqrt{T_{xa}}]^{B'} \quad \dots\dots(4)$$

ここで、 $P_i' = \int_{\mu_{ci}}^{\mu_{ai}} f(\mu) d\mu / (1-P_{ci}) = (P_{ai}' - P_{ci}') / (1-P_{ci})$, $P_{ai}' = \int_0^{\mu_{ai}} f(\mu) d\mu$, $P_{ci}' = \int_0^{\mu_{ci}} f(\mu) d\mu$, $f(\mu) = \lambda' (\lambda' \mu)^{k'-1} e^{-\lambda' \mu} / \Gamma(k')$, $\gamma_i' = F_i' / P_{ai}' \sqrt{T_{xa}}$, $F_i' = \int_{\mu_{ci}}^{\mu_{ai}} f(\mu) \sqrt{\mu} d\mu / (1-P_{ci}) = (F_{ai}' - F_{ci}') / (1-P_{ci})$, $F_{ai}' = \int_0^{\mu_{ai}} f(\mu) \sqrt{\mu} d\mu$, $F_{ci}' = \int_0^{\mu_{ci}} f(\mu) \sqrt{\mu} d\mu$, $\mu_{ai} = K_i T_{xa}$, $\mu_{ci} = K_i T_{xc}$, $\mu_{ai} = \mu_{cm} = \mu_c$, A' と B' は実験係数; 一樣粒径の場合には添字(i)をとる。

の係数 A' , B' を Einstein 氏節(道上などの式を基準式として, $k'=3$, $\lambda'=0.92$, $K=40$, $T_{xc}=0.01$ として決定すれば $(d/d_m=1)$ $0.02 < T_{xa} < 0.055$ に対し, $A'=1.866 \times 10^4$, $B'=11.664$ ……(5-a)

$$0.055 < T_{xa} < 0.40 \quad (\text{対し}, \quad A'=4.977 \times 10^4, \quad B'=2.337) \quad \dots\dots(5-b)$$

$$0.40 < T_{xa} < 10 \quad (\text{対し}, \quad A'=6.281 \times 10^4, \quad B'=2.562) \quad \dots\dots(5-c)$$

を得る。式(5)と $K_i/K_m = (d_i/d_m)^{0.85}$ (第20回水理講論文集, 1976)を用いて \dot{V} を計算すると図-2 のようになる。実線は浅田・石川の実験値曲線である。

低重域では $T_{fc}=0$ と $T_{fc}=0.03$ の
計算結果(図-2と図-4)に比べて、よりよく
実験値の傾向を再現していることが
わかる。

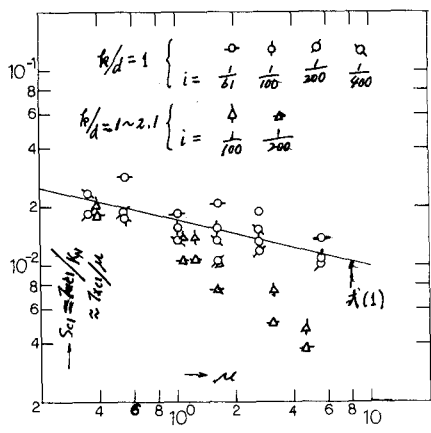


図-1

